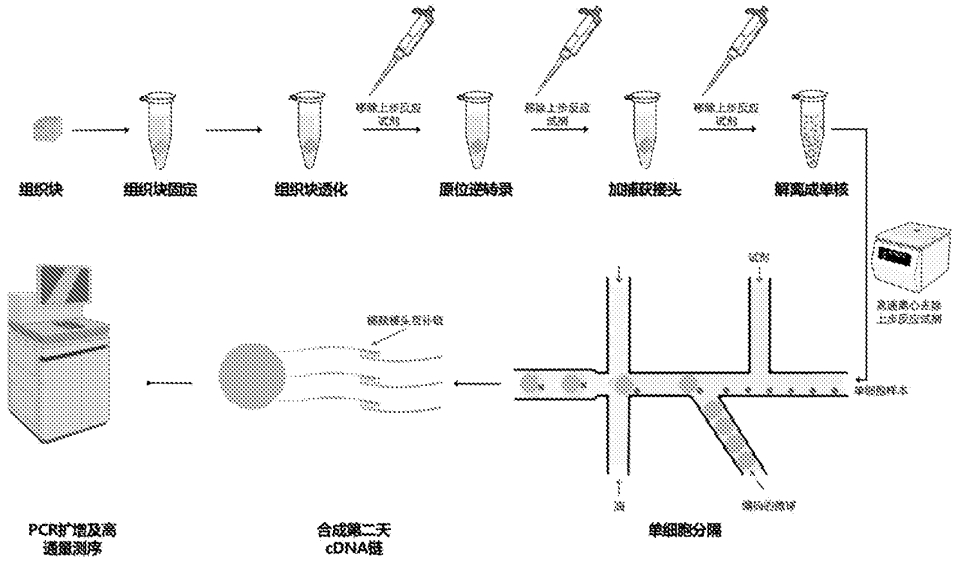
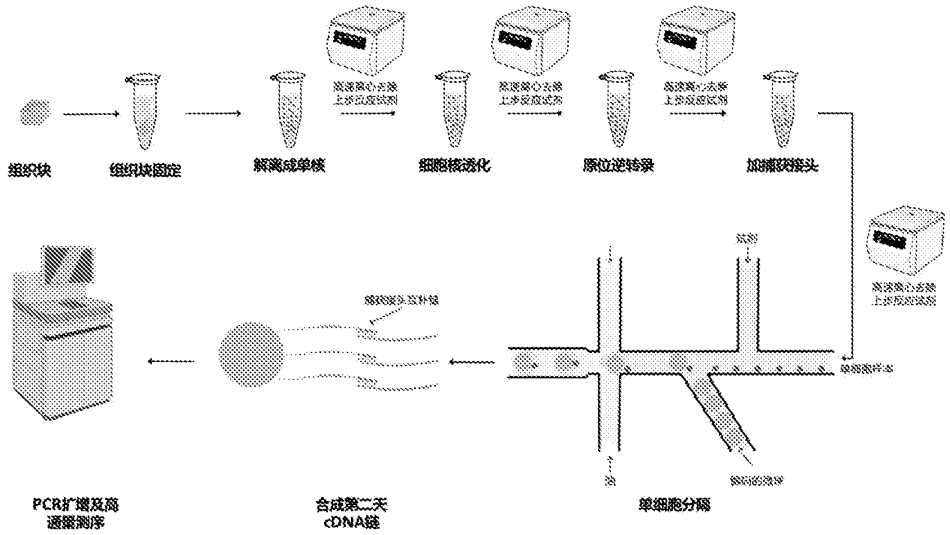
WO 2025/185521 PCT/CN2025/079706

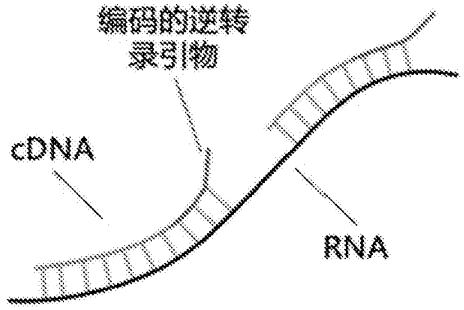
[图 1]



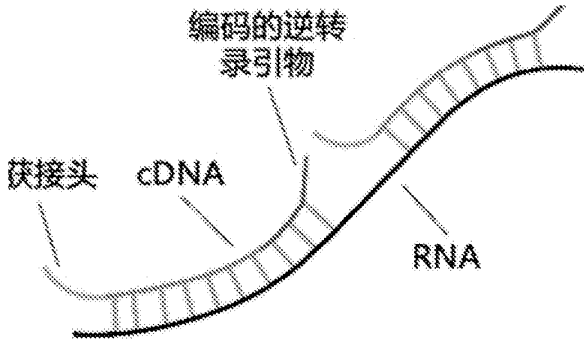
[图 2]



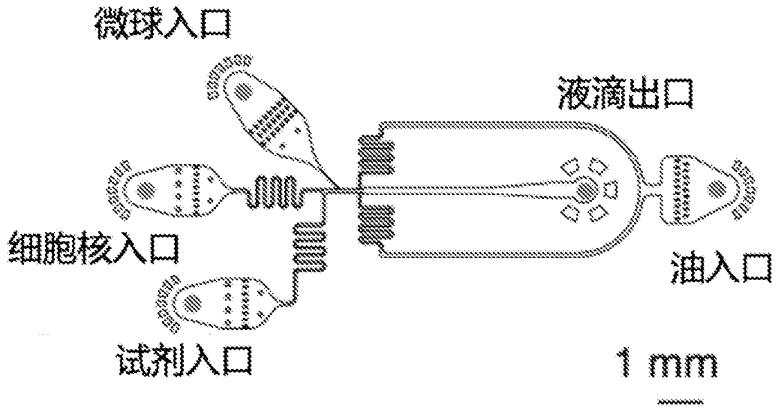
[图 3]



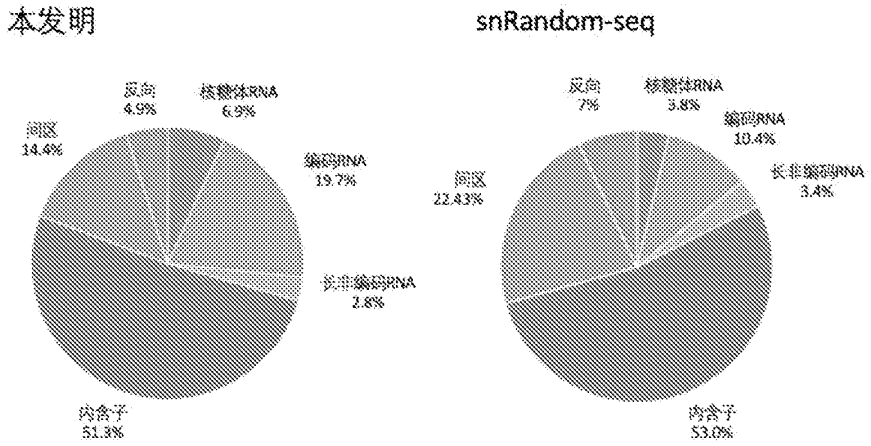
[图 4]


编码的逆转
录引物
茯接头
cDNA
RNA

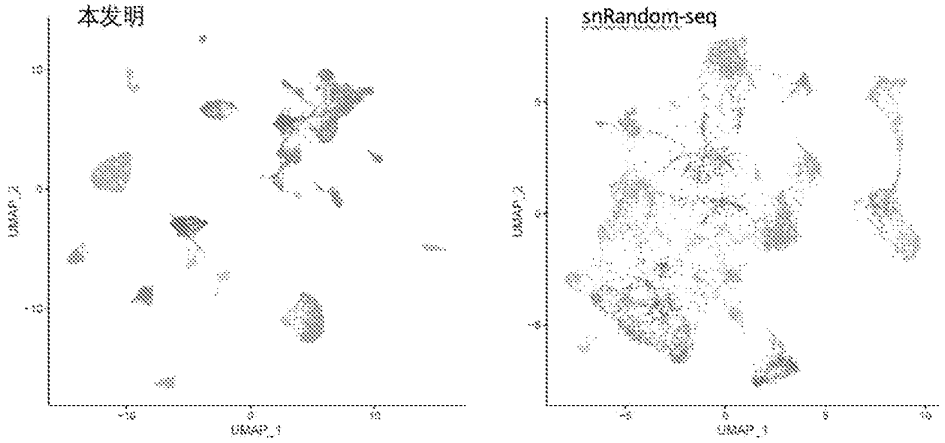
[图 5]


微球入口
液滴出口
细胞核入口
油入口
试剂入口
1 mm

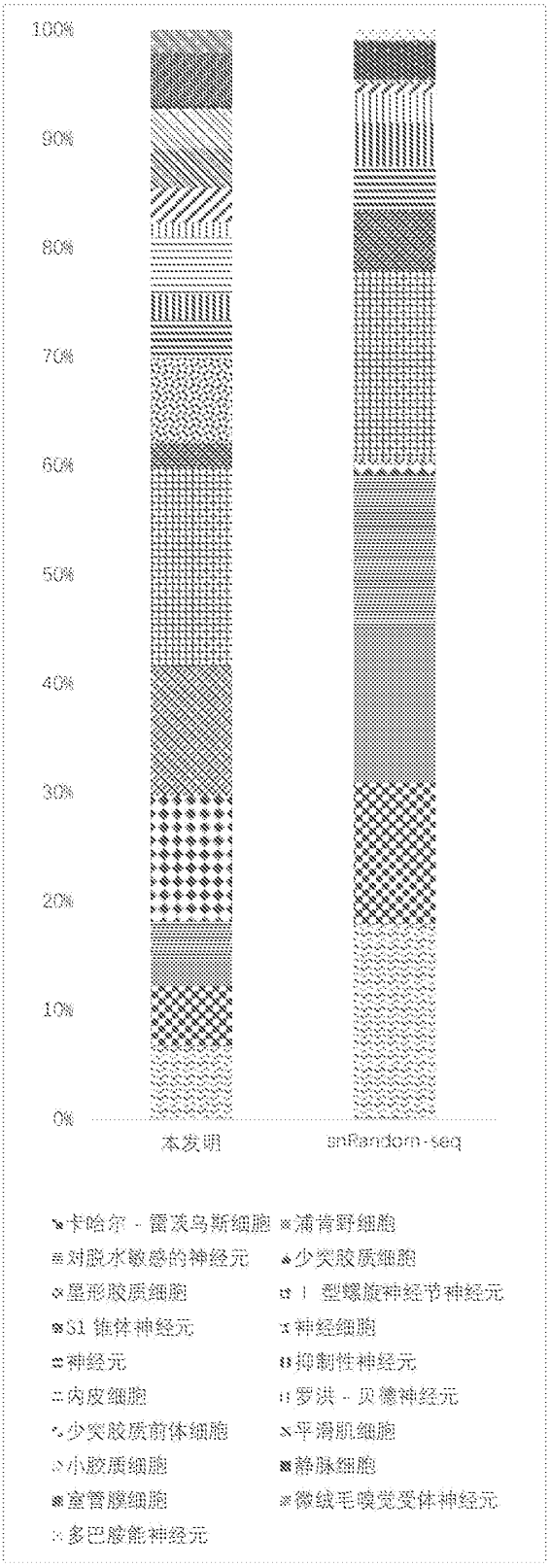
[图 6]


本发明
反向
4.9%
核糖体RNA
6.9%
间区
14.4%
编码RNA
19.7%
长非编码RNA
2.8%
内含子
51.3%
snRandom-seq
反向
7%
核糖体RNA
3.8%
编码RNA
10.4%
长非编码RNA
3.4%
间区
22.43%
内含子
53.0%

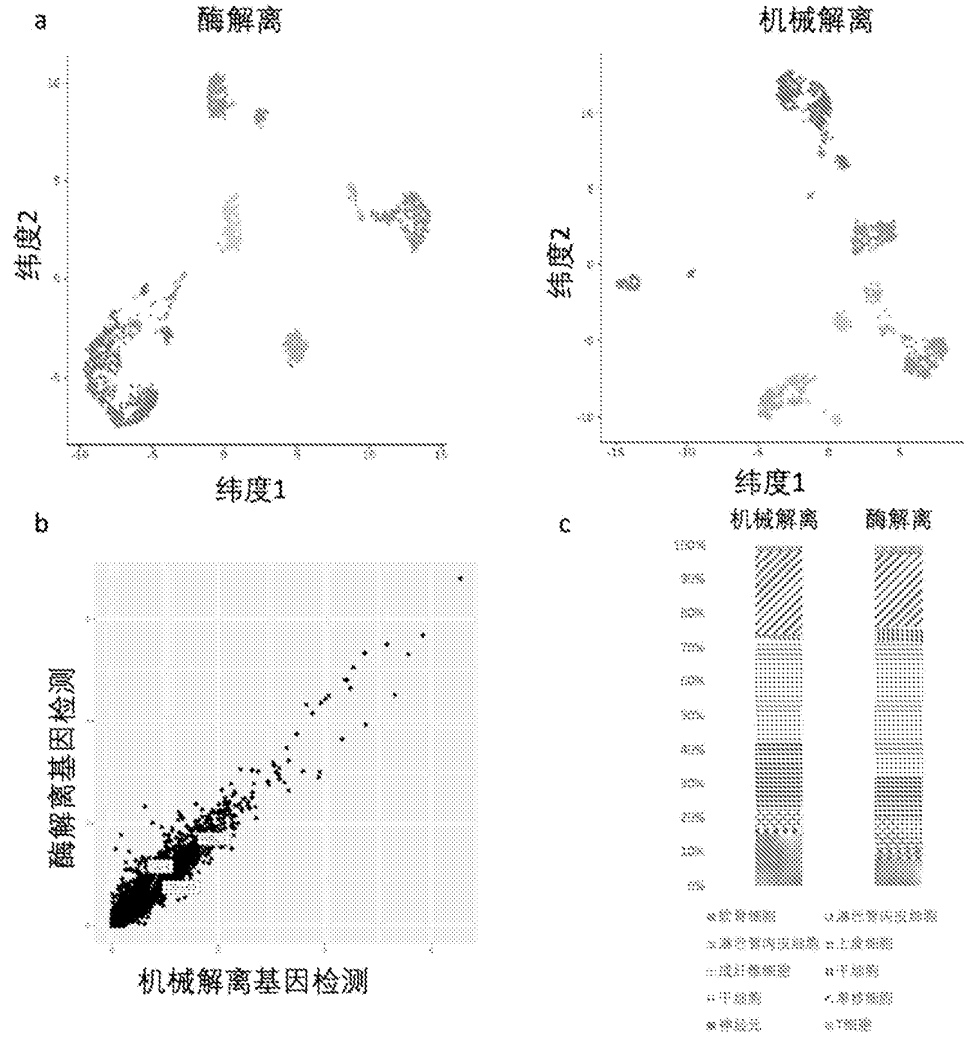
[图 7]



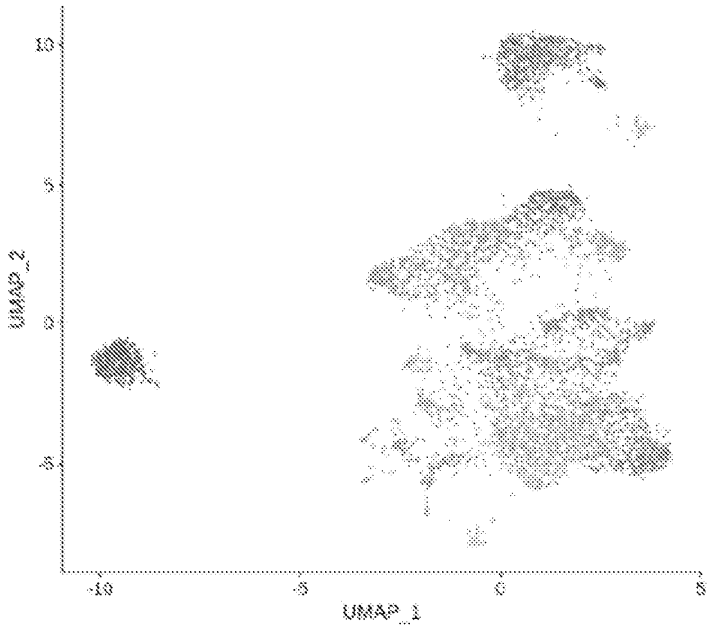
[图 8]


100%
90%
80%
70%
60%
50%
40%
30%
20%
10%
0%
本发明
snRandom-seq
卡哈尔 - 雷茨乌斯细胞
对脱水敏感的神经元
星形胶质细胞
51 锥体神经元
神经元
肉皮细胞
少突胶质前体细胞
小胶质细胞
室管膜细胞
多巴胺能神经元
浦肯野细胞
少突胶质细胞
I 型螺旋神经节神经元
神经细胞
抑制性神经元
罗洪 - 贝德神经元
平滑肌细胞
静脉细胞
微绒毛嗅觉受体神经元

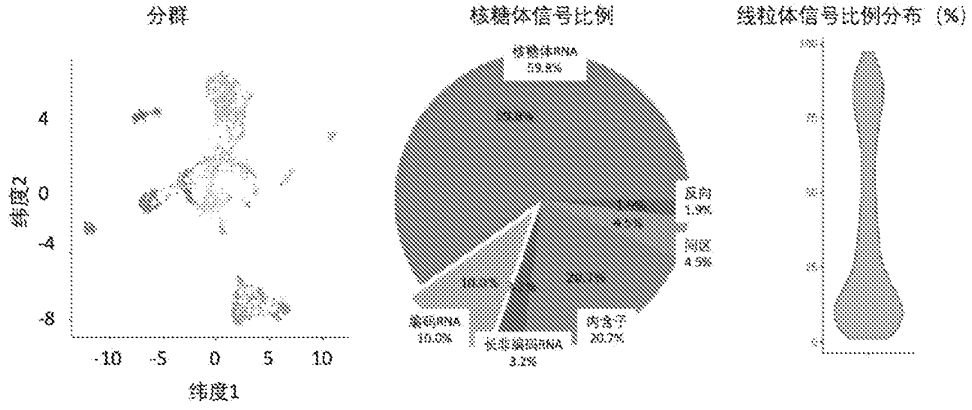
[图 9]



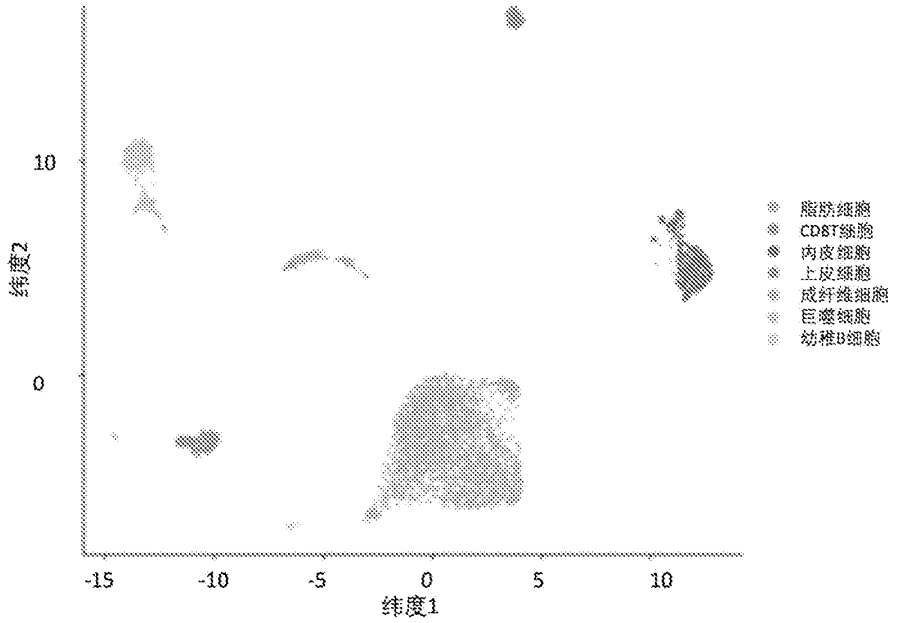
[图 10]


10
5
0
-5
UMAP_2
-10
-5
0
5
UMAP_1

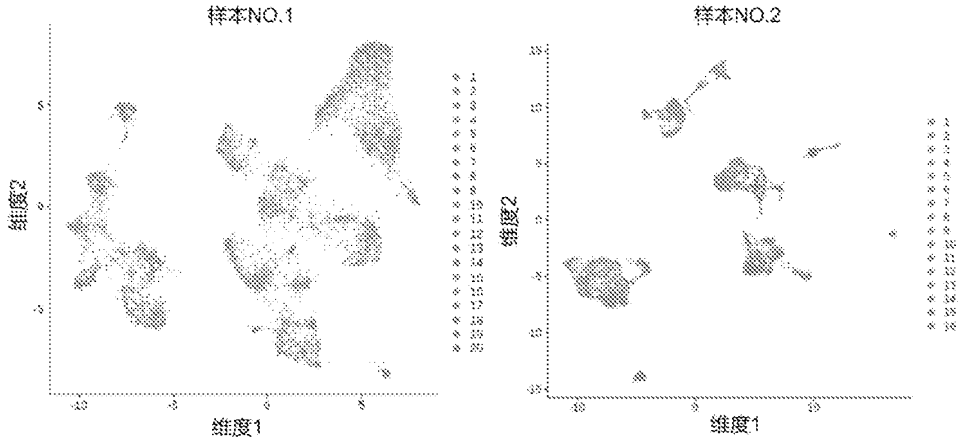
[图 11]


分群
4
0
-4
-8
纬度2
-10
-5
0
5
10
纬度1
核糖体信号比例
核糖体RNA
59.8%
反向
1.9%
间区
4.5%
编码RNA
10.0%
长非编码RNA
3.2%
内含子
20.7%
线粒体信号比例分布（%）

[图 12]


10
0
纬度2
-15
-10
-5
0
5
10
纬度1
脂肪细胞
CD8T细胞
内皮细胞
上皮细胞
成纤维细胞
巨噬细胞
幼稚B细胞

[图 13]


样本NO.1
维度2
维度1
样本NO.2
维度2
维度1

[图 14]

